УДК 681.513

## С, Е. ЧИМИШКЯН, Е. А МЕРОЯН

## ПОСТРОЕНИЕ МОДЕЛЕЙ НЕОПРЕДЕЛЕННОСТЕЙ МНОГОВИЗНЫХ ДИНАМИЧЕСКИХ ОБЪЕКТОВ ДЛЯ СИНТЕЗА МНОГОРЕЖИМНЫХ САУ

Предложинный способ построения моделей многосвязных динамических объектов с учетом неопределенностей позволяет проектировать многорежимные системы автоматического управления. Рассмотрен иллюстративный пример построения но дели и синтеза корректирующего устройства для астроследящей системы

Ил. 3. Библиогр.: 4 назв.

Առաջարկված է բազմակապ դինաժիկ օրյեկտենթի անորոշությունների ժողեկների կոոուցման նզանակ, որը թույլ է տալիս հախագծել բաղմառն իմ ավտոմատ կառավարման Համակարդեր, Դիտված է աստղահետևող Համակարգի մոդելի կառուցման և <mark>նշատ</mark>դ սարջի Համագրման ցուցադրական որինակ.

В практических задачах автоматического управления характеристики линеаризованной модели объекта управления часто оказываются переменными, будь то в силу смещения рабочей точки (точки линеаризации) либо явного изменения объекта (программное перестроение объекта, дрейф параметров и др.). При этом традиционные методы синтеза систем автоматического управления (САУ) с неперестранваемыми (постоянными) регуляторами обычно не позволяют получить приемлемые свойства устойчивости и качества. В этом случае одини -глуго отонминженогони кителерия информации киментинди ки тора, позволяющего без перестроення достичь компромиссиых свойств устойчивости и качества в определенной ограниченной области пространства параметров объекта. Среди известных концепции многорежимного управления весьма привлекательны своей «классичностью» частотные методы теорин робастности [1]. В рамках последних отправным этапом проектирования САУ вида рис. 1 является построение специфичной линейной модели многосиязного объекта в виде номинальной частотной передаточной матрицы (ПМ)  $G(p_0)$  и характеристики неструктуризованной неопределенности  $\Lambda_{\mathcal{G}}(\omega)$ , т. е. верхней границы отклонения реальной молели (частотной  $\Pi M G(y, i\omega)$ ) от номинальной. Здесь у-вектор параметров, определяющих режим работы объекта, а у ЕГ, Г рассматриваемая область режимов.

Среди традиционных форм описания неопределенности [1] наиболее употребительными являются следующие:

а) аддитинная неопределенность

$$G\left(\gamma,\ /\omega\right) = G\left(f\omega\right) + \Delta G_A\left(\gamma,\ /\omega\right), \quad \Delta_{GA}\left(\omega\right) = \sup \left[G\left(\gamma,\ /\omega\right) - G\left(f\omega\right)\right]_1. \tag{1}$$

б) мультипликативная исопределенность на входе объекта-

$$G(\gamma, j\omega) = G(j\omega) [I - \Delta G_{M_1}(\gamma, j\omega)].$$

$$\Delta_{GM_1}(\omega) = \sup_{\gamma \in \Gamma} [G(j\omega)^{-1} G(\gamma, j\omega) - I_{\{\gamma\}}^{\mathbb{Z}}].$$
(2)

в) мультипликативная неопределенность на выходе объекта-

$$G(\gamma, j\omega) = [1 + \Delta G_{M2}(\gamma, j\omega)] G(j\omega),$$

$$\Delta_{\Omega,M2}(\omega) = \sup [G(\gamma, j\omega)G(j\omega)^{-1} - I]_{2}.$$
(3)

тде [А] — спектральная норма матрицы А [2]

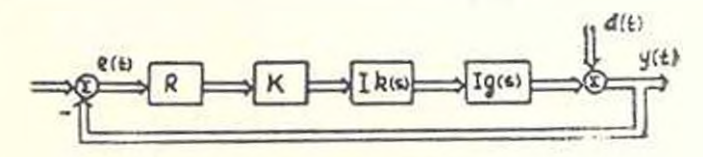


Рис. 1. Структурная схема САУ.

Процедура поиска частотной модели объекта в одной из указанных выше форм сводится к решению минимаксной задачи:

а) для аддитивной формы (I)—

inf 
$$\sup \|G(\gamma, j\omega) - G(j\omega)\|_2 = \Delta_{GA}(\omega)$$
.  $\forall \omega \geqslant 0$ ; (4)

б) для мультипликативной формы (2) -

$$\inf_{\Omega(|\rho|)} \sup_{\gamma \in \Gamma} \|G(|\rho|)^{-1} G(\gamma, |\rho|) - I_{\parallel 2}^{\varrho} = \Delta_{GM1}(\omega), \quad \forall \omega \geqslant 0; \tag{5}$$

в) для мультипликативной формы (3)-

$$\inf_{C(f,\Phi)} \sup_{\gamma \in \Gamma} \|G(\gamma, f_{\Phi}) G(f_{\Phi})^{-1} - I\|_2 = \Delta_{GM_2}(\omega), \quad \forall \omega \geqslant 0.$$
 (6)

Задачу можно несколько упростить. Для этого следует, во-перых, использовать в выражениях (1)—(6) вместо спектральной нормы  $\Delta G(\gamma, i\omega)$ , евклидову норму  $\|\Delta G(\gamma, i\omega)\|_{\infty}$ . Последняя вычисляется епосредственно по определению

$$|\Delta G_{\perp}(\cdot, j\omega)|^{2} = \left(\sum_{i=1}^{m} |\Delta g_{\perp}(\cdot, j\omega)|^{2}\right)^{1/\alpha},$$

отличие от спектральной нормы, требующей специальной вычислиельной процедуры—сингулярного разложения [2]. Однако это упощение приводит к увеличению достаточности, т. к. имеет место тенка [3]:  $\|\Delta G(\gamma, -1)\|_{L^{\infty}} \|\Delta G(\gamma, -1)\|_{L^{\infty}}$ . Во-вторых, можно выбежать вшения минимаксной задачи в (4)— (6), выбирая квазиоптимальное тачение  $G(\tau)$  из числа реально существующих моделей  $G(\gamma, -1)$ , то также увеличивает тостаточность.

В качестве примера рассмотрим синтез многорежимной системы стабилизации телескопа, размещенного на искусственном спутииве Земли (ИСЗ). При малых отклонениях по осям полнеса телескопа (1...2°) объект управления описывается ПМ вида [4]

$$G(\gamma, s) = R(\gamma) \times (s). \tag{7}$$

дге g(s) — передаточная функция сепаратного канала, обусловленная динамикой привода:

$$p(s) = \frac{100(0.2s + 1)}{s(s+1)(0.0125s+1)(0.008s+1)}$$
 (8)

R(;) — матрица жестких связей [4]:

причем изменение исследуемого участка неба влечет за собой изменение системы звездных датчиков и, как следствие, изменение вектора параметров у Полная область режимов 1' определяется конструкцией телескопа как

$$1' = |\gamma| |\gamma = [\gamma_1 \gamma_2 \gamma_3]^T, \quad |\gamma_1 - \gamma_3| < \Delta \gamma, \quad t = \overline{1, 3}, \quad \Delta \gamma = 25^{\circ}], \quad (10)$$

гле  $\gamma_{t0}$  — значения углов для некоторого нейтрального положены датчиков.

Частный вид ПМ объектов (7) и обусловленный симметрие задачи квазиоптимальный выбор  $G(j_{0})=R(\gamma_{0})g(j_{0})$  позноляет заменить задачу (4) на следующум

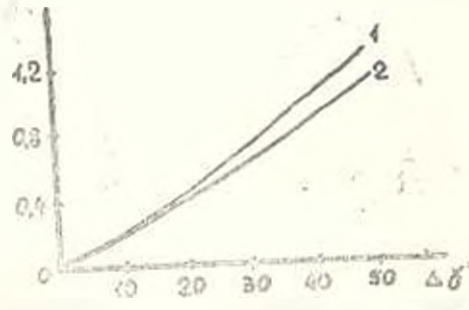


Рис. 2. Зависимость  $\Delta_Q$  ( $\Delta_{17}$ ):  $I=\tau_{00}-20^\circ$ ,  $\tau_{20}=15.2^\circ$ ,  $\tau_{30}=-15^\circ$ ,  $\tau=\gamma_{30}-\tau_{20}=10^\circ$ .

 $\sup_{\gamma \in \Gamma_{\epsilon}} \left\{ R(\gamma) - R(\gamma_{\epsilon})_{\epsilon} \right\}_{\epsilon} = \Delta_{\epsilon},$   $\Delta_{GA}(\omega) = \Delta_{\epsilon} \left\{ g\left( f \omega \right) \right\}_{\epsilon}.$ (3)

где область рассматривлемых режимов Г'∈Г определжется по аналогии с (10), но при разбром углов 2% ≤ 25°. На рис. 2 изображены графики записимости 2 от пеличины 2° для ряда значений получениме числении редением задачи (11).

Многорежимная САУ вида раз 1 должня обеспечить во всерассматриваемой области режимов 1 гледующие свойства: а) усточивость; б) установившуюся скоростную ошибку 1, 2" при макенмальной скорости возмущающего движения ИСЗ 120" с-1 (по дорж в) приемлемые запасы устойчивости, т. е. показатель колебательность

 $M \le 1,2$ . На о нове методики [5] синтевируется корректирующееустройство е ПМ K(s) Kh(s). Матрица жес ких связей K имеет сингулярное разложение [2]:  $K = \sum_{l=1}^{3} u_{m}^{T}$ ), определяемое сингулярным разложением матрицы

$$K(z_1) = \sum_{i=1}^{3} \tau_{ii} (u_{ii} v_{ii}^T),$$

где  $u_{to}$  и  $v_{to}$  левые и правые сингулярные векторы,  $r_{t0}$  и  $k_{t}$ — сингулярные числа (по определению  $r_{t0} = 0$  и — 0), причем для упроцения можно прицять:  $k_{1} = r_{1}^{-1}$ ,  $k_{2} = -1 \ll k_{3} \ll r_{1}$ .

Для синтеза САУ используем методику апализа свойств многосвязаной САУ, описанную в [5] Согласно этой методике, применительно к рассматриваемой САУ имеем:

а) условие устоичивости

$$I(\omega) = |R|_{2}^{n} \Delta_{\Omega A}(\omega) |k|(I\omega)| |\min| 1 + R(I\omega) g(I\omega) k_{i} \kappa_{I0}| < 1, \quad \forall \omega = 0; \quad (12)$$

6) условие требуемой скоростей ошибки—  $d_{cu} = \lim_{r \to 0} \{ \max_{s \in \mathbb{R}} \{ 1 - h(s) g(s : k, r_s) \} = (1 - I(s)) \}, \quad (13)$ 

тде возмущение  $d(t) = d \cdot t$ , t > 0;

в) условие требуемого показателя колебательности-

$$M \le \max \left[ \max \left[ 1 + (k(j\omega) p(j\omega) k, r_{ij})^{-1} \right] \right] + \frac{\ell(\omega)}{1 - \ell(\omega)} \max \left[ 1 - k(j\omega) g(j\omega) k_i r_{ij} \right]^{-1}$$
(14)

Положим желяемые значения  $m\leqslant 1,2, \|e\|(\infty)\| \|d_{\rm cx}\|\leqslant 1,2'/120''=10^{-1}$ , тогда, после элементарного упрощения выражений (12)—(14) имеем следующие условия для синтеза:

3) 
$$l(\omega) = k_3 \Delta_R |g(j\omega)| \cdot |k(j\omega)|/|1 + 2 \cdot |g(j\omega)| \cdot |g(j\omega)| \cdot 1$$
, (15)

6) 
$$|d_{s}| = 10^{2} \le k_{s} |k(0)| \lim |g(s)s| \cdot |r_{s0} - \Delta_{R}|$$
; (16)

$$= \frac{1}{(1 - l(\omega)) \min \left[1 - k_l r_{lin} g(j\omega) k(j\omega)\right]}$$
(17)

Рассмотрим конкретный случай:  $\gamma_{10}=20$  ,  $=15.2^{\circ}$ ,  $\gamma_{30}=-15^{\circ}$ ,  $\Delta\gamma=10^{\circ}$ , при этом  $r_{10}=1.27$ ,  $r_{20}=1$ ,  $r_{30}=0.62$ ,  $\Delta_{R}=0.25$ ,  $k_{1}=0.79$ ,  $k_{2}=1$ , 1

Обеспечить условия (15)—(17) одной лишь статической коррекцией k(s)=k не удается (нарушается условне (17)) и требуется внедение динамической коррекции

$$k(s) = \kappa \frac{(s+1)(T_1s+1)}{(0.2s+1)(T_1s+1)} \qquad T_1 > 1, \quad T_2 > 0.2.$$

Из четырех параметров сингеза  $(k_3, k, T_1$  и  $T_4)$  в действительности свободными являются лишь  $k_3$  и  $T_4$ , т. к.  $T_1$  определяется из условия неизменности g (  $f^{\mu}(k)f^{\mu}$ ) ил средних и высоких частотах:  $T_1=kT_3$ 5, а из (16) имеем:  $k=1/(k_3(r_{10}-\Delta_R))$ . Варьирозанием  $k_3$  и  $T_4$  удается добиться выполнения всех условий (15)—(17) при наборе параметров  $T_1=8.45,\ T_2=1,\ R=1.69,\ k_3=1.6.$ 

При этом

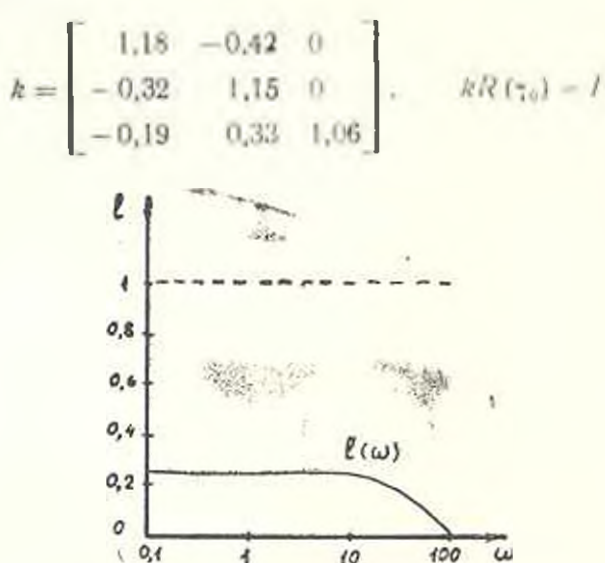


Рис. 3. Проверка условия устойчивости (12).

На рис. 3 приводится графическая проверка условия (15).

## ЛИТЕРАТУРА

- Dayle J. C., Stein G. Multivariable feedback design: concepts for a classical/modern synthesis//IEEE Trans. Auto. Contr. 1984. - V. 29 No. 12. - P. 1069-1075.
- 2. Вогводин В. В. Линейная илгебра.-М.: Наука, 1980. 400 с.
- Лоусон Ч., Хенсон Ч. Численное решение задач методом наименьших квадратов.— М.: Наука, 1986.—232 с.
- 4. Астроследящие системы / Под ред. Б. К. Чемоданова.—М.: Машиностроение, 1977.—304 с.
- Чимищкян С. Е. Проектирование робастных многосвязных САР принцип нормальной доминантности // Автоматическое управление объектами с переменными характеристиками: Межнуз. сб.—Новосибирск, 1988.—С. 98—104

ЕрПИ

10. 11. 1990